

## 잠열재를 이용한 이동식 저온 컨테이너 및 사과의 내부온도 유지특성

권기현<sup>†</sup> · 김종훈 · 정진웅  
한국식품연구원

## Characteristics Maintenance Internal Temperature of Apple and Portable Low-Temperature Container by Using Phase Change Materials

Ki-Hyun Kwon<sup>†</sup>, Jong-Hoon Kim and Jin-Woung Jeong  
Korea Food Research Institute, Seongnam 463-746, Korea

### Abstract

By considering the storage temperatures of agricultural products, three types of PCMs ( $K_1$ ,  $K_2$ ,  $K_3$ ) were developed to be used in temperature ranges of  $0\sim5^\circ\text{C}$ ,  $5\sim10^\circ\text{C}$  and  $10\sim15^\circ\text{C}$ .  $K_1$  PCM for  $0\sim5^\circ\text{C}$  was developed by mixture of  $\text{C}_{14}\text{H}_{30}$  and sodium polyacrylate, and  $K_2$  PCM for  $5\sim10^\circ\text{C}$  and  $K_3$  PCM for  $10\sim15^\circ\text{C}$  were mixture of  $\text{C}_{14}\text{H}_{30}$ ,  $\text{C}_{18}\text{H}_{38}$  and sodium polyacrylate with different composition ratio. The target temperatures of cold chain system were set at  $7^\circ\text{C}$ ,  $13^\circ\text{C}$ , and  $17^\circ\text{C}$  with  $K_{1,3}$ ,  $K_{2,3}$ , and  $K_{3,1}$  PCMs, respectively. The times to reach the target temperatures in the storage chamber were 21 hours, 18 hours, and 61 hours with  $K_1$ ,  $K_2$ , and  $K_3$  PCMs, respectively. The performances of natural convection type and forced convection of the temperature controlled portable container were analyzed. Apples were stored in the portable container of  $5^\circ\text{C}$ , and temperatures at surface and center were measured. The initial temperature of the apple was  $25^\circ\text{C}$ . The temperatures of apple at the surface and the center were  $15^\circ\text{C}$  and  $16^\circ\text{C}$ , respectively, after 5 hours with natural convection type. However, the temperatures at the surface and the center were already reached to  $7^\circ\text{C}$  within 1 hour with forced convection type. The forced convection type showed the better performance and the temperatures of portable container were maintained more than 15 hours.

**Key words :** portable container, forced convection, natural convection, phase change material

### 서 론

국내의 농산물 유통산업은 규모나 질적인 면에서 괄목할 만한 성장세를 유지하고 있다. 특히, 국민생활수준 향상과 식생활의 서구화로 인하여 패스트푸드, 육류, 어패류, 신선편이 농산물 및 식품은 저온유통 시스템에 의한 물류량이 증가되고 있으며, 이에 따라 장·단거리 운반 수단으로 사용되는 냉동차량 및 냉동·냉장용 저장창고, 쇼케이스, 물류용 냉장용기 등에 관련된 산업 역시 지속적인 성장을 거듭하고 있다.

농산물 호흡에 영향을 미치는 인자로는 품종, 숙성도, 조직 내 축적된 영양 성분의 조성, 산물 크기, 과피 상태

및 과육을 구성하고 있는 조직 형태의 내적 인자와 온도, 에틸렌, 산소, 탄산가스 농도, 생장조절제 및 과육손상 정도의 외적 인자로 나눌 수 있는데, 그 중에서 온도가 청과물 호흡에 영향을 미치는 주요 인자로 분석하였으며, 일반적으로 인과류(사과, 배 등)는 얼거나 저온장해를 발생하지 않을 정도의 최대한 낮은 온도로 급속 냉각하여 보관할 때 효과가 가장 우수한 것으로 보고하였다(1). 서로 다른 상변화 온도를 가지는 상변화 물질을 사용한 축냉 모듈의 열 성능에 관하여 보고하였으며(2), 잠열재를 열매체로 하는 실제 냉방설비의 운전특성을 평가하기 위해서 냉방장치는  $800\times800\times100\text{ mm}^3$ 로 축냉 용기 8개를 내부에 장착한  $5\times6\times3.5\text{ m}^3$  규모의 실험용 컨테이너를 제작하여 실험한 결과를 나타내었다(3), 축냉식 냉동 탑 차와 일반 냉동차로 비교 실험하였으며, 측정방법은 일반식과 축냉식 냉동차간

\*Corresponding author. E-mail : kkh@kfri.re.kr,  
Phone : 82-31-780-9258, Fax : 82-31-780-9144

의 구조차이로 인하여 측정부위나 측정지점이 차이가 있다(4). 축냉식 수송겸용 냉동/냉장고를 수송되지 않는 동안 심야열원을 이용하여 잠열재를 상변화 시켜 냉열을 저장하면서 농산물을 차량에 적재하고, 수송하는 동안 수송겸용 냉동/냉장고 상부에 설치된 축냉기로 부터 상부의 공기가 자연적으로 하강하여 수송겸용 냉동/냉장고 내부를 냉각하는 방식으로 잠열재 적용연구를 수행하였다(5).

본 연구에서는 농산물 유통에서 취급과 수송이 용이하면서 별도의 열 공급 없이 이동과 수송이 가능한 이동식 저온 컨테이너를 제작하여 자연대류와 강제대류 냉각 순환방식으로 농산물 유통에 필요한 잠열재, 고내 그리고 사과 품온 등 온도변화 및 특성을 구명하고자 하였다.

## 재료 및 방법

### 재료

본 실험에서는 경북 영주 능금영농조합에서 수확된 부사 품종을 대과, 중과를 구입하여 항온기에 저장한 후 시료로 사용하였으며, 잠열재로서 신 등(6)의 물, 망초( $\text{Na}_2\text{SO}_4$ ), 파라핀 계열 물질 등을 사용하였으며, 이 등(7)은 5.8°C에서 상변화를 일으키는 tetradecane을 내부물질로 사용하였다. 본 연구에서는 단위 축열 물질인 물(Water), 고 흡수성 수지(Sodium polyacrylate), 에탄올(Ethanol), 파라핀(Paraffin)계 등을 사용하였으며(8), 이중 물 및 에탄올은 잠열재 실험을 위해 비교구로 사용하였고, 고 흡수성 수지와 테트라데칸(tetradecane)의  $\text{C}_{14}$ ,  $\text{C}_{18}$  등을 주 물질로 사용하였다. 실험에 사용한 재료는  $\text{C}_{14}\text{H}_{30}$  (wt 30%, J&C 마이크로 케미컬, 한국)과  $\text{C}18\text{H}38$  (wt 30%, J&C 마이크로 케미컬, 한국)을 사용하여 농산물 유통에 적합하도록  $K_{1-1}$ ,  $K_{1-2}$ ,  $K_{1-3}$ ,  $K_{2-1}$ ,  $K_{2-2}$ ,  $K_{2-3}$ ,  $K_{3-1}$ ,  $K_{3-2}$ ,  $K_{3-3}$ 의 총 9가지의 처리구로 구분하여 제조하였다. 각 물질을 구성하는 물질의 배합은  $K_1$ 은 설정온도 0~5°C에서 온도구간이 유지되도록  $\text{C}_{14}\text{H}_{30}$ 과 Sodium polyacrylate로 제조하였고,  $K_2$ 는 설정온도 5~10°C에서 온도구간이 유지되도록  $\text{C}_{14}\text{H}_{30}$ ,  $\text{C}_{18}\text{H}_{38}$  그리고 Sodium polyacrylate로 제조하였다. 또한  $K_3$ 은 설정온도 10~15°C에서 온도구간이 유지되도록  $\text{C}_{14}\text{H}_{30}$ ,  $\text{C}_{18}\text{H}_{38}$  그리고 Sodium polyacrylate로 제조하였다. 잠열재를 제조한 후 폴리에틸렌(PE) 팩에  $700 \text{ cm}^3$ ,  $1000 \text{ cm}^3$ 씩 충전하고 밀봉하였다. 실험 용기인 스치로폼 박스는 총용량  $0.004 \text{ m}^3$ 에 17.5%인 잠열재 팩 한 개를 넣고 아이스박스에는 총용량  $0.008 \text{ m}^3$ 에 17.5%인 두 개를 넣어 용적대비 동일한 충전 용량으로 실험을 수행하였다.

### 장치

Table 1은 본 실험에서 사용한 이동식 저온 컨테이너의 사양으로 외기온도 35°C에서 12시간 이상 유지할 수 있도록

소비되는 축냉량 0.7 RT( $1\text{RT}=13,890.88 \text{ kJ}$ )로 환산하여 설계하였으며, 설정 가능한 온도는 -10~15°C이다. 제어방식은 온도 및 시간을 조합하는 방식으로 설계하였다. 충냉팩은 잠열재를 활용할 수 있도록 축냉 모듈에 직접 교환하는 방식을 채택하였다. 또한 외부의 잠열방출과 혼열유입을 최소화하기 위해서 이동식 저온 컨테이너 내부에서 잠열재 팩을 교체할 수 있도록 제작하였다.

Table 1. Specification of the transportable cold storage container

Items	Transportable cold storage container
Effective internal volumetric	0.108 m <sup>3</sup>
Storage temperature	Refrigeration 3°C ± 3°C Freezing -10°C less
Phase transition time	Refrigeration 12 hr Freezing 11 hr
Freezing time	12 hr
Power	Single phase 220 V/60Hz
Power requirement	Refrigeration 870 W Freezing 680 W
Compressor	Horizontal rotary compressor
Refrigerant	R22

### 처리구 및 실험방법

Fig. 1은 이동식 저온 컨테이너의 상변화 특성을 분석하기 위한 개략도로써 고내온도를 각각 3, 8, 10°C로 일정하게 유지하여 실험을 수행하였으며, 온도 설정은 지금까지 실용화되고 있는 ICE-pack의 축냉 기간보다 더 길게 연장하기 위해서 NaOH함량을 단계별로 증가한 송 등(9)의 방법에 준하여 잠열재 제조 후 방열 운전 중에 측정이 요구되는 위치를 고내 상부, 하부, 측면, 중앙 및 잠열재 내부에 열전대(T-type)를 설치하여 30초 주기로 측정하였다. 실험은  $K_1$ ,  $K_2$ ,  $K_3$  잠열재를 사용하였고, 축냉은 -10°C에서 잠열재가 -3~0°C가 될 때까지 축냉 하였다. 축냉이 완료된 후에 이동식 저온 컨테이너 내부와 잠열재 온도가 설정한 온도에 도달할 때까지 시간을 측정하였다.

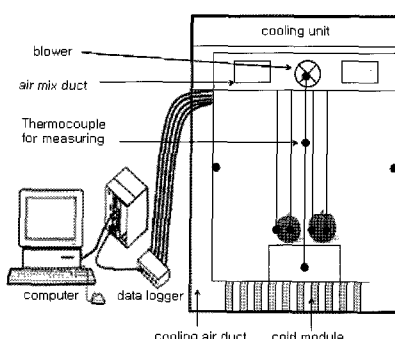


Fig. 1. Schematic of the experimental set-up.

### 내부온도 특성 측정

이동식 저온 컨테이너의 성능에 가장 큰 영향을 미치는 저장 중 공기 유동 및 잠열재의 상변화 특성을 구명(10,11)하기 위하여 잠열재 방냉 실험과 이동식 저온 컨테이너 내부의 온도변화를 측정하였다. 방냉시 송풍의 영향을 분석하기 위해서 상부에 냉기 흡입 및 방출 순환 팬을 설치하여, 자연대류 및 강제대류 방식으로 실험을 수행하였다.

### 잠열재의 상변화 온도 특성

이동식 저온 컨테이너의 상변화 특성을 분석하기 위해서 잠열재를 항온기 20°C에서 잠열을 완전 방출시키고, 이동식 저온 컨테이너의 고내온도를 각각 3, 8, 10°C로 일정하게 유지하여 실험을 수행하였으며, 실험 측정은 저장장치에 실시간으로 저장하였다. 방열 운전 중에 측정이 요구되는 위치를 고내 상부, 하부, 측면, 중앙 및 잠열재 내부에 열전대(T-type)를 설치하여 30초 주기로 측정하였다. 실험은 K<sub>1</sub>, K<sub>2</sub>, K<sub>3</sub> 잠열재를 사용하였고, 축냉은 -10°C에서 잠열재가 -3~0°C가 될 때까지 축냉 하였다. 축냉이 완료된 후에 이동식 저온 컨테이너 내부와 잠열재 온도가 설정한 온도에 도달할 때까지 시간을 측정하였다.

### 사과의 내부 품온 측정

사과 품온 변화는 대과, 중과를 구입하여 20°C의 항온기에 저장한 후 실험에 사용하였다. K<sub>1</sub> 잠열재가 이동식 저온 컨테이너에서 축냉 -10°C 조건으로 0°C까지 축냉하여 5°C로 고내온도를 설정한 후 사과 반경을 2등분하여 대과는 깊이 40 mm와 표면 2 mm, 중과는 깊이 30 mm와 표면 2 mm 시료내부에 온도센서인 열전대(Thermocouple, T type)를 2개씩 삽입하여 온도를 측정하였다.

### 결과 및 고찰

#### 잠열재 및 고내온도 변화

Table 2는 고내온도 방열 온도를 3°C로 유지시키면서 고내온도 내부 및 잠열재가 상변화 온도인 5°C에 도달할 때까지 결과 값으로 K<sub>1</sub> 잠열재는 보냉 온도유지가 21시간 이상으로 유지되는 결과를 얻을 수 있었다. 특히, K<sub>1-1</sub>은 보냉 온도유지시간이 23시간 이상으로 보냉 온도유지가 가장 효과적인 것으로 나타났으며, 고내온도를 8°C로 유지시키면서 내부 및 잠열재가 상변화 온도인 10°C에 도달할 때까지 잠열재, 고내온도 좌측, 우측, 하부, 중앙 지점의 상변화 시간에 따른 온도를 측정한 결과, K<sub>2</sub> 잠열재는 보냉 온도유지가 21시간 이상으로 유지되는 결과를 얻을 수 있었다. 특히, K<sub>2-1</sub>은 보냉 온도유지시간이 18시간 이상으로 보냉 온도유지가 가장 효과적인 것으로 나타났다.

고내온도 방열 온도를 13°C로 유지시키면서 내부와 잠열

재가 상변화 온도인 15°C에 도달할 때까지 잠열재, 고내온도 좌측, 우측, 하부, 중앙 지점의 상변화 시간에 따른 온도를 측정하였고, 그 결과 값을 Table 3에 나타내었다. Table 4는 K<sub>3</sub>의 결과로써 총 방열시간이 70시간일 때 10~15°C까지의 잠열재 보냉 온도유지는 좌측 65, 48, 37시간, 우측 66, 47, 37시간, 중앙 66, 47, 36시간, 하부는 65, 47, 36시간으로 나타났으며, 특히, K<sub>3-1</sub>은 65시간 동안 보냉 온도시간을 유지하는 것으로 분석되어 본 연구에서 제작한 이동식 저온 컨테이너와 함께 효과적인 결과를 얻을 수 있었다.

Table 2. Phase transition time of K<sub>1</sub> PCM from 3°C to 5°C of inside temperature

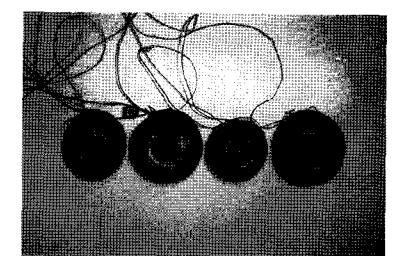
Items	K <sub>1</sub>		
	K <sub>1-1</sub>	K <sub>1-2</sub>	K <sub>1-3</sub>
Phase transition time(hr)	left	23	22
	right	24	22
	middle	23	21
	lower	24	22
	PCM	32	33
Phase transition temperature(°C)	Freezing	-0.6	-0.5
	Melting	3	3

Table 3. Phase transition time of K<sub>2</sub> PCM from 8°C to 10°C of inside temperature

Items	K <sub>2</sub>		
	K <sub>2-1</sub>	K <sub>2-2</sub>	K <sub>2-3</sub>
Phase transition time(hr)	left	27	21
	right	28	22
	middle	28	22
	lower	27	22
	PCM	32	21
Phase transition temperature(°C)	Freezing	-3.0	-2.8
	Melting	7	7

Table 4. Phase transition time of K<sub>3</sub> PCM from 13°C to 15°C of inside temperature

Items	K <sub>3</sub>		
	K <sub>3-1</sub>	K <sub>3-2</sub>	K <sub>3-3</sub>
Phase transition time(hr)	left	65	48
	right	66	47
	middle	66	47
	lower	65	47
	PCM	67	57
Phase transition temperature(°C)	Freezing	-3.6	-3.6
	Melting	13	13



(a) locations of temperature sensors.



(b) internal locations of temperature sensors.

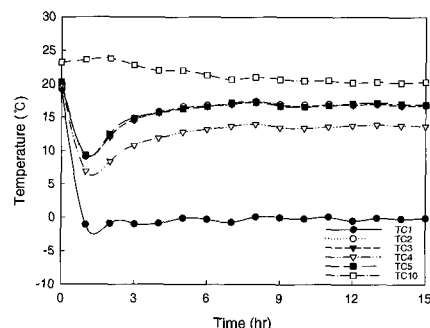
Fig. 2. Locations of temperature sensors in apple.

### 사과의 내부 품온 변화

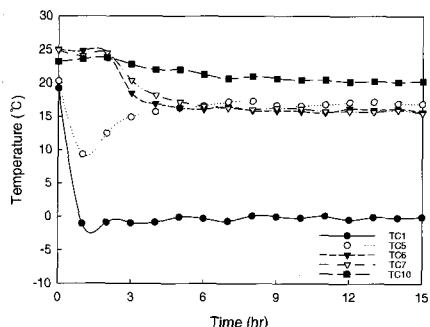
자연 대류방식은 사과 내부 품온을 상승시키기 위해 25°C에서 저장한 후 이동식 저온 컨테이너의 고내온도를 5°C로 설정하여 수행하였다. Fig. 3의 (a)는 설정온도가 5°C일 때 잠열재 온도, 고내 중앙, 하부, 좌측, 우측 및 외기온도 변화를 측정한 것으로 잠열재 온도가 -1°C를 유지하였을 때, 한 시간 후에 측정위치인 고내의 중앙, 하부, 좌측, 우측으로 각각 9, 7, 9, 9°C로 나타났다.

(b)와 (c)는 동일한 조건에서 이동식 저온 컨테이너의 고내온도와 사과를 측정한 것으로 중앙지점은 한 시간 후에 9°C에서 선형적으로 나타나 5시간 후에 사과와 동일한 지점까지 상승하였다. 사과는 표면으로부터 2, 40 mm의 위치에서 각각 15, 16°C로 나타났으며, 저장 15시간 까지 일정한 온도를 유지하였다. 이와 같이 자연 대류방식은 저장기간 동안에 잠열재가 5°C를 유지하였으나, 고내온도 및 사과온도는 15, 16°C로 나타났다.

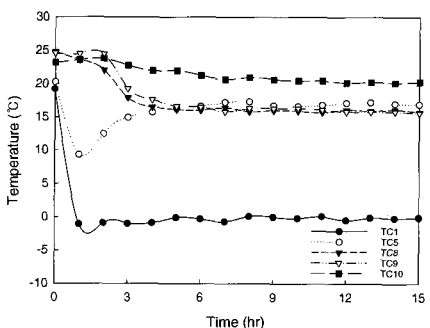
강제 대류방식은 사과 내부 품온을 상승시키기 위해 25°C에서 저장한 후 이동식 저온 컨테이너의 고내온도를 5°C로 설정하여 수행하였으며, 이 때, 순환 팬은 설정온도에 따라 자동적으로 정지와 운전을 할 수 있도록 하였다. Fig 4의 (a)는 설정온도가 5°C일 때 잠열재 온도, 순환팬, 고내의 중앙, 하부, 좌측, 우측 및 외기온도 변화를 측정한 것으로 잠열재 온도가 -1~0°C를 유지하였을 때 한 시간 후에 측정 위치인 잠열재, 순환팬, 고내 중앙, 하부, 좌측, 우측의 온도는 각각 0, 8, 9, 7, 9, 9°C로 나타났다. 자연대류방식과 달리 모든 처리구에서 빠르게 냉각되는 것을 알 수 있다. 이것은 잠열재의 냉기공급이 다층 통로를 통해 순환 팬에 흡입되어 대류에 의해 사과에 열전달이 일어나고 고내 혼열이 재



(a) room temperature



(b) apple(large size)



(C) apple(middle size)

Fig. 3. Temperature changes of at 5°C of surrounding temperature by natural convection type

TC1 : K<sub>1</sub> charged PCM pack

TC5 : Middle side point

TC8 : Surface of apple (middle size)

TC9 : Center of apple (middle size)

TC10 : Ambient temperature

축냉 되어진 잠열재에 공급되어 잠열을 흡수하기 때문에 저장 15시간 이후에도 계속해서 보냉 온도를 유지할 수 있는 것으로 판단되었다(14).

Fig. 4의 (b), (c)는 동일한 조건에서 이동식 저온 컨테이너의 사과 품온을 측정한 것으로 잠열재가 -1~0°C이고, 고내 온도가 5~7°C 사이에 모든 처리구에서 선형적으로 나타났다. 7시간 후에 사과는 표면으로부터 2, 40 mm의 위치에서

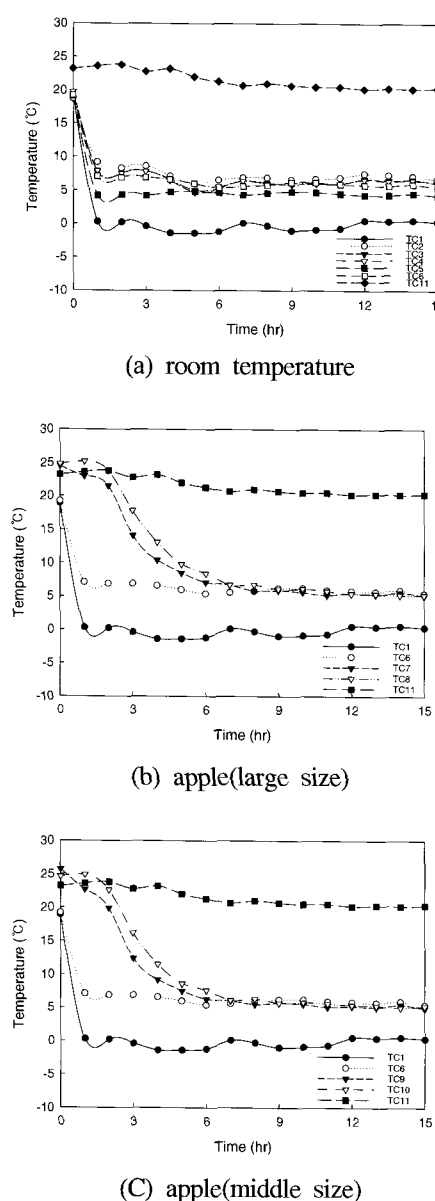


Fig. 4. Temperature changes of at 5°C of surrounding temperature by forced convection type.

TC1 : K<sub>1</sub> charged PCM pack  
 TC2 : Fan point  
 TC3 : Left point  
 TC4 : Right point  
 TC5 : Lower point  
 TC6 : Middle point  
 TC11 : Ambient temperature

고내온도와 동일한 5~7°C로 측정되었으며, 그 후에는 저장 15시간까지 일정한 온도를 유지하였다.

결과적으로 축냉 장치 및 잠열재 위치를 상부와 축면 방식인 자연대류방식보다 하부방식인 강제 대류방식에 의 한 시스템 구축이 매우 효과적인 것으로 나타났다.

## 요약

본 연구는 저온 유통 시스템을 구축하기 위해 이동식 저온 컨테이너에서 잠열재, 내부온도의 유지특성과 운영조건별 사과의 내부 품온을 살펴보았으며, 그 결과를 요약하면 축냉식 저온유통 체계에서 다목적용 농산물 유통에 적합하도록 0~5°C, 5~10°C, 10~15°C 3가지 온도대별 잠열재를 개발하였다. 0~5°C 잠열재(K<sub>1</sub>)는 C<sub>14</sub>H<sub>30</sub>과 Sodium polyacrylate, 5~10°C 잠열재(K<sub>2</sub>)는 C<sub>14</sub>H<sub>30</sub>, C<sub>18</sub>H<sub>38</sub>, Sodium polyacrylate, 10~15°C 잠열재(K<sub>3</sub>)는 C<sub>14</sub>H<sub>30</sub>, C<sub>18</sub>H<sub>38</sub>, Sodium polyacrylate를 혼합하여 제조하여 잠열재로 사용한 결과 이동식 저온 컨테이너의 내부온도 유지특성은 K<sub>1</sub> 잠열재는 보냉 온도유지가 21시간 이상으로 유지되는 결과를 얻을 수 있었다. K<sub>2</sub>의 경우 보냉 온도유지가 18시간 이상으로 유지되는 결과를 얻을 수 있었다. K<sub>3</sub>의 경우 모든 잠열재에서 61시간 이상으로 10~15°C 내부온도 유지특성을 나타내었다. 사과 내부 품온 변화는 잠열재 온도 0°C에서 고내온도 5°C에 도달할 때까지의 이동식 저온 컨테이너에서 잠열재 보냉 유지시간은 K<sub>1</sub>, K<sub>2</sub>, K<sub>3</sub> 처리구에서 20시간 이상으로 유지되는 것으로 나타났으며, 사과의 내부 품온 변화는 자연대류 방식의 경우 5시간 후에 표면과 중심온도가 각각 15°C, 16°C로 나타났으나 강제대류방식은 한 시간 후에 모든 측정지점에서 7°C의 품온을 보였으며, 보냉 온도유지시간을 15시간 이상유지 하는 것으로 나타나 자연대류 방식의 이동식 저온 유통체계보다는 강제 대류식 유통체계가 우수한 것으로 나타났다.

## 참고문헌

1. 김동철, 김병삼, 이세온, 김의웅 (1993) 산지청과물 종합유통시설 설치에 필요한 관련기술 개발. 한국식품개발연구원 보고서.
2. Core, K. L. (1987) The Use of Microencapsulated Phase-Change Materials to Enhance Heat Transfer in Liquid-Coupled Heat Exchange Systems, M.S. Thesis, North Carolina State University, Raleigh, North Carolina.
3. 이금복 (2005) 다목적용 저에너지형 축냉식 유통시스템의 내부 온도분포 및 공기 유동장 해석. 숭실대학교 연구보고서.
4. 백종현 (2003) 축냉분야 기반기술 구축을 위한 PCM(잠열축냉물질) 개발, 중소기업과제보고서.
5. 전용호, 이상렬, 황규현, 류인근 (2004) 축냉식 수송겸용 냉동/냉장고 개발. 대한설비공학회, 동계학술발표대회 논문집, p.512-517.
6. 신상윤, 박형준, 유해성, 문성우 (2004) 마이크로캡슐 PCM의 열역학적 특성 실험. 대한설비공학회 하계학술

- 대회 논문집, p.541-546.
- 7. 이재구, 최영찬, 이시훈, 김용구, 이원목 (2004) 잠열미 립자 슬러리를 이용한 열저장 및 수송특성. 대한설비공 학회 학계학술대회 논문집, p.382-387
  - 8. 송현갑, 노정근, 문영모 (2004) 식·의약품 저온 저장을 위한 H<sub>2</sub>O-NaOH 혼합형 잠열재의 냉축 열 특성. 한국태 양에너지학회, 24, 7-12.
  - 9. 황윤제, 최종민, 이재구 (2005) 마이크로캡슐 잠열재 이용 기술현황. 설비저널, 34, 33-38
  - 10. 이성범 (1999) 빙축냉 시스템에서의 열저장 성능향상 에 관한 연구. 인하대학교 석사학위논문.
  - 11. 정진웅, 김병삼, 차환수, 권기현, 최정희 (2005) 국내산 농축산물의 신선도 유지 및 에너지 절약을 위한 다목적용 축냉식 저온 유통 시스템개발. 한국식품연구원보고서.
  - 12. Pal, D. and Joshi, Y. K. (1995) "Application of phase change materials to thermal control of electronic modules: A Computational study". Advanced in Electronic Packaging, 10, 1307-1315.
  - 13. Romesberg, L. J. (1988) Enhancement of heat transfer in liquids with microencapsulated Phase-Change Materials. M. Sc. Thesis, North Carolina State University.
  - 14. Lee, S.W., Min, M.K. and Lee, H.Y. (1999) An Experimental Study on the Enhancement of Heat Transfer In Liquids With Microencapsulated Phase-change Material. International Conference on Renewable and Advanced Energy Systems 21st Century p.1-6.

---

(접수 2007년 11월 2일, 채택 2008년 1월 4일)